



БИООРГАНИЧЕСКАЯ ХИМИЯ

том 5 * № 7 * 1979

УДК 547.962:541.63

АПРИОРНЫЙ РАСЧЕТ ТРЕХМЕРНОЙ СТРУКТУРЫ АПАМИНА

II. ФРАГМЕНТ Cys¹—Leu¹⁰

Мельников П.Н., Попов Е.М.

Институт биоорганической химии им. М. М. Шемякина
Академии наук СССР, Москва

Исследованы конформационные возможности фрагмента Cys¹-Asn²-Cys³-Lys⁴-Ala⁵-Pro⁶-Glu⁷-Thr⁸-Ala⁹-Leu¹⁰ апамина. Расчет выполнен на основе данных анализа пространственного строения составляющих декапептид участков цепи Thr⁸-Ala⁹, Ala⁹-Leu¹⁰, Ala⁵-Thr⁸, Cys¹-Thr⁸, Cys¹-Ala⁹, а также Cys¹-Pro⁶, рассмотренного в предшествующем сообщении [1]. Показано, что в самых стабильных и представительных структурах декапептида Cys¹-Leu¹⁰ октапептидный участок Cys¹-Thr⁸ является сложившейся, конформационно жесткой, особенно в отношении формы основной цепи, цуклеацией, а остатки Ala⁹ и Leu¹⁰ отличаются большой лабильностью. В этих конформациях имеет место практически совершенная согласованность межостаточных взаимодействий на всех участках фрагмента Cys¹-Leu¹⁰.

В серии сообщений будут изложены результаты проведенного нами теоретического исследования пространственного строения нейротоксина апамина, молекула которого состоит из 18 аминокислотных остатков, в том числе четырех цистеинов, образующих два дисульфидных мостика Cys¹-Cys¹¹ и Cys³-Cys¹⁵. Конформационный анализ выполнен априорно. Использованные в расчете экспериментальные данные касались только химического строения молекулы, длин связей и валентных углов. Наличие дисульфидных связей не принималось во внимание. Мы исходили из предположения, что результаты расчета линейной последовательности должны автоматически привести на завершающей стадии к сближенности соответствующие остатки Cys.

В предыдущем сообщении [1] были рассмотрены конформационные возможности N-концевого фрагмента апамина Cys¹-Asn²-Cys³-Lys⁴-Ala⁵-Pro⁶. Анализ проведен на основе рассчитанных предварительно конформационных состояний перекрывающихся четырех дипептидных, трех трипептидных и тетрапептидного участков. Найденные для каждой формы основной цепи наборы предпочтительных конформаций дипептидов служили исходными в расчете трипептидов и т. д. Было показано, что для последовательности Cys¹-Pro⁶ самой выгодной формой основной цепи является $R^1-B^2-\overline{R^3-R^4-B^5-R^6}$ шейпа *jeffe*. Ее стабильность обусловлена главным образом невалентными взаимодействиями между элементами основной цепи и системой водородных связей; боковые цепи при этом обладают, как правило, довольно большой конформационной свободой. Поэтому форма $R^1-B^2-\overline{R^3-R^4-B^5-R^6}$ представлена не единственной конформацией, а набором самых предпочтительных для фрагмента Cys¹-Pro⁶ состояний, отличаю-

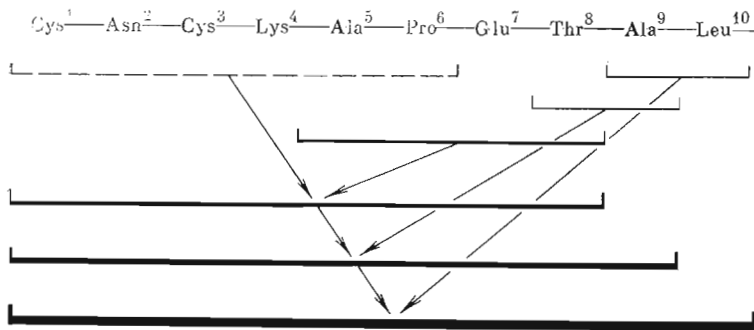


Рис. 1. Схема расчета конформаций фрагмента апамина Cys¹—Leu¹⁰

щихся друг от друга ориентациями боковых цепей -Cys¹-, -Cys³- и -Lys⁴. По сравнению с другими возможными формами основной цепи гексапептида она обладает наименьшей энталпийей и наибольшей энтропией.

Следующая за глобальной структурой $R_2^1 \cdot R_{13}^2 \cdot R_3^3 \cdot R_{2222}^4 \cdot R^5 \cdot R^6$ конформация шейпа $fffffe \ R_3^1 \cdot R_{13}^2 \cdot R_3^3 \cdot R_{2222}^4 \cdot R^5 \cdot R^6$ имеет относительную энергию около 5 ккал/моль. Для исследования конформационных возможностей более длинных участков последовательности апамина нами отобран целый ряд структурных вариантов фрагмента Cys¹—Pro⁶ в интервале 0—8 ккал/моль, представляющих многие формы и шейпы пептидного скелета фрагмента (см. табл. 9 в [1]).

Конформационный анализ апамина выполнялся с учетом невалентных и электростатических взаимодействий атомов, водородных связей и торсионного вклада. Использованные в расчете потенциальные функции, система параметризации и принятые обозначения даны в работе [1].

В настоящем сообщении изложены результаты теоретического конформационного анализа декапептидного участка апамина Cys¹—Asn²—Cys³—Lys⁴—Ala⁵—Pro⁶—Glu⁷—Thr⁸—Ala⁹—Leu¹⁰. Расчет осуществлен в несколько этапов. Вначале рассмотрен фрагмент Ala⁵—Pro⁶—Glu⁷—Thr⁸. На основе низкоэнергетических вариантов различных форм и шейпов основной цепи гексапептида Cys¹—Pro⁶ [1] и тетрапептида Ala⁵—Thr⁸, перекрывающихся по двум остаткам, исследованы конформационные возможности октапептида Cys¹—Thr⁸. Полученные здесь данные и результаты по дипептидам Thr⁸—Ala⁹ и Ala⁹—Leu¹⁰ послужили исходными для анализа сначала нона-, а затем декапептидного фрагментов апамина. Схема расчета представлена на рис. 1. Разбиение фрагмента Cys¹—Leu¹⁰ на структурные элементы *b* и *s*, их нумерация, а также принятые в расчете переменными двугранные углы Φ , Ψ , χ даны на рис. 2.

Тетрапептидный фрагмент Ala⁵—Thr⁸. Особенность этого участка апамина заключается в незначительной конформационной свободе остатка Pro⁶, который дополнительно ограничивает подвижность соседнего остатка Ala⁵ [2]. Исходные приближения для минимизации энергии при варьировании 12 двугранных углов Φ , Ψ , χ (рис. 2) сформированы из $B^5 \cdot B^6$, $B^5 \cdot R^6$ и $L^5 \cdot R^6$ -состояний фрагмента Ala⁵—Pro⁶ и конформаций метиламидов N-ацетил-L-глутаминовой кислоты [3] и L-треконина [4] при учете результатов расчета трипептида Ala⁵—Pro⁶—Glu⁷ [1]. Последние два остатка включали *R*-*B*- и *L*-формы основной цепи и все конформеры боковых цепей по углу χ^1 . Полученные таким образом 117 вариантов распадаются по 20 формам основной цепи и четырем шейпам.

Распределение конформаций по величинам относительной энергии дано в табл. 1. В табл. 2 приведена энергия конформаций с $E_{\text{общ}} \leq 8$ ккал/моль. В интервале 0—8 ккал/моль не вошел ни один вариант шейпа *eej*. Высокоэнергетичными и поэтому малоперспективными для последующего

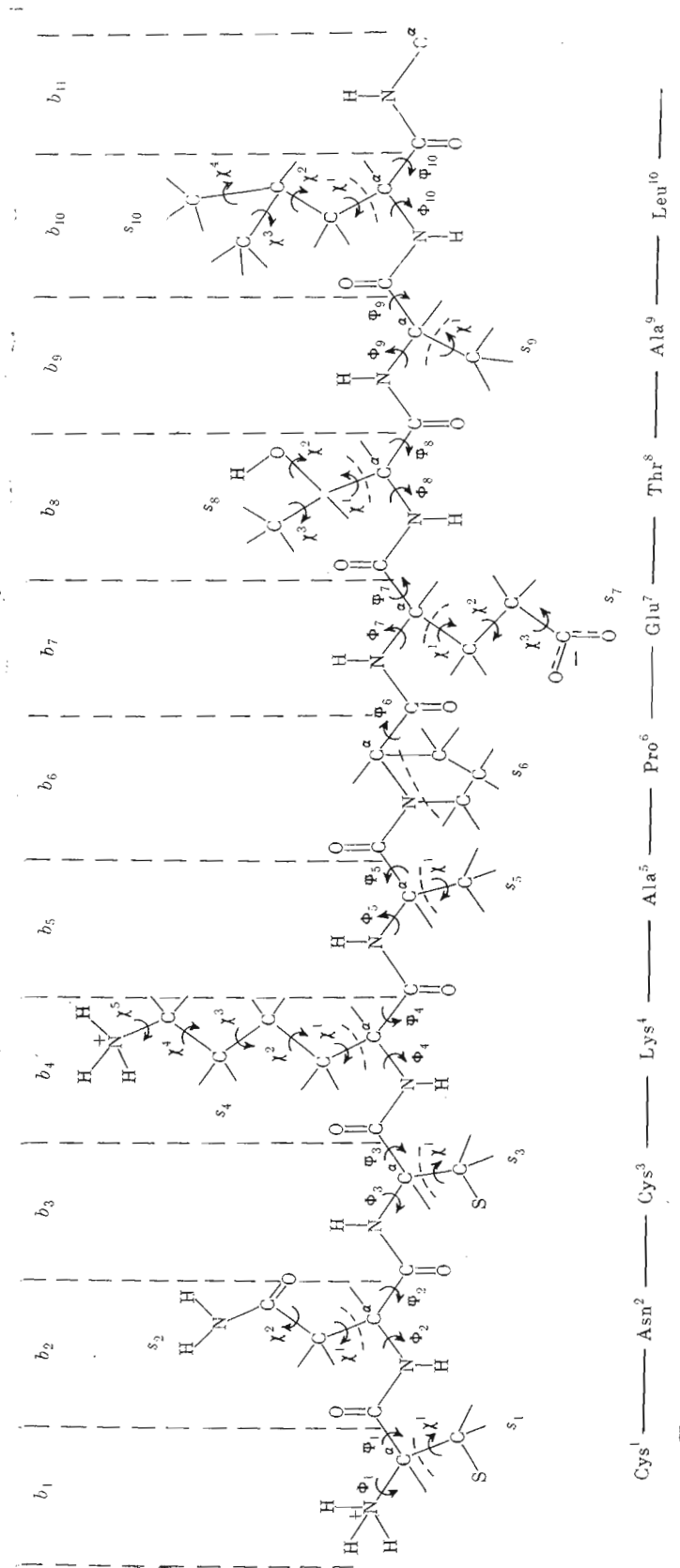


Рис. 2. Расчетная модель фрагмента аминокислоты Cys¹-Leu¹⁰

Таблица 1

Энергетическое распределение конформаций фрагмента
Ala⁵-Pro⁶-Glu⁷-Thr⁸

Шейп	Форма	Интервал $E_{общ}$, ккал/моль						
		> 8	8-6	6-4	4-3	3-2	2-1	1-0
<i>eee</i>	<i>B</i> ⁵ - <i>B</i> ⁶ - <i>B</i> ⁷ - <i>B</i> ⁸	2	1	—	—	—	—	—
	<i>B</i> - <i>B</i> - <i>B</i> - <i>R</i>	—	3	—	—	—	—	—
	<i>B</i> - <i>B</i> - <i>R</i> - <i>L</i>	3	—	—	—	—	—	—
	<i>B</i> - <i>R</i> - <i>L</i> - <i>B</i>	—	—	3	—	—	—	—
	<i>B</i> - <i>R</i> - <i>L</i> - <i>R</i>	—	3	—	—	—	—	—
	<i>B</i> - <i>B</i> - <i>B</i> - <i>L</i>	3	—	—	—	—	—	—
<i>eej</i>	<i>B</i> - <i>B</i> - <i>R</i> - <i>B</i>	9	—	—	—	—	—	—
	<i>B</i> - <i>B</i> - <i>R</i> - <i>R</i>	9	—	—	—	—	—	—
	<i>B</i> - <i>R</i> - <i>R</i> - <i>L</i>	8	1	—	—	—	—	—
<i>e/e</i>	<i>L</i> - <i>R</i> - <i>R</i> - <i>L</i>	3	—	—	—	—	—	—
	<i>B</i> - <i>R</i> - <i>B</i> - <i>B</i>	—	6	2	1	—	—	—
	<i>B</i> - <i>R</i> - <i>B</i> - <i>R</i>	—	4	4	1	—	—	—
	<i>L</i> - <i>R</i> - <i>B</i> - <i>B</i>	—	5	1	—	—	—	—
	<i>L</i> - <i>R</i> - <i>B</i> - <i>R</i>	3	3	—	—	—	—	—
	<i>B</i> - <i>R</i> - <i>R</i> - <i>B</i>	—	2	3	2	2	—	1
<i>eff</i>	<i>B</i> - <i>R</i> - <i>R</i> - <i>R</i>	—	2	1	2	2	1	1
	<i>B</i> - <i>R</i> - <i>B</i> - <i>L</i>	5	3	1	—	—	—	—
	<i>L</i> - <i>R</i> - <i>R</i> - <i>B</i>	—	2	—	1	—	—	—
	<i>L</i> - <i>R</i> - <i>R</i> - <i>R</i>	—	1	—	2	—	—	—
	<i>L</i> - <i>R</i> - <i>B</i> - <i>L</i>	6	—	—	—	—	—	—

расчета оказались все конформации шейпа *eee*. Для данной последовательности структуры пептидного скелета *eef* и *eee* не обеспечивают в должной мере реализации средних взаимодействий. Так, при шейпе *eee* (рис. 3) сближенными оказываются боковые цепи остатков Ala⁵, Glu⁷ и Pro⁶, Thr⁸, которые из-за природы первого остатка в каждой паре не могут образовывать между собой эффективных контактов. Как видно из табл. 3, где представлены количественные энергетические характеристики межостаточных контактов, в конформации типа *eee* весьма незначительны дипептидные и практически отсутствуют три- и тетрапептидные взаимодействия (взаимодействия остатков в положениях 1-2, 1-3 и 1-4 соответственно).

Наиболее предпочтительные конформации фрагмента Ala⁵-Thr⁸ принадлежат шейпам *eff* и *e/e*. Однако и здесь наблюдается неравномерное энергетическое распределение конформаций как с одинаковыми, так и с различными формами основной цепи. Конформации с *L*-формой остатков Ala⁵ и Thr⁸ имеют, за очень редким исключением, высокую энергию. Наиболее низкоэнергетическими оказались варианты с формами *B*⁵-*R*⁶-*R*⁷-*B*⁸(*R*⁸) шейпа *eff* и *B*⁵-*R*⁶-*B*⁷-*B*⁸(*R*⁸) шейпа *e/e*. В глобальной конформации *B*-*R*-*R*₃₁₁-*R*₁₁(*eff*) боковая цепь остатка Glu⁷ при значениях $\chi^1 \sim -60^\circ$ и $\chi^2, \chi^3 \sim 60^\circ$ эффективно взаимодействуют с боковой цепью -Pro⁶- (-3,3 ккал/моль), а также -Ala⁵- и -Thr⁸- (-1,1 ккал/моль). Свернутый характер основной цепи (рис. 3) предопределяет возникновение стабилизирующих контактов между элементами *b*₅ и *b*₉, *b*₆ и *b*₈, *b*₇ и *b*₉, суммарная энергия которых составляет -2,8 ккал/моль. Таким образом, компактная форма *B*⁵-*R*⁶-*R*⁷-*R*⁸ предоставляет условия для взаимодействия между всеми звеньями фрагмента Ala⁵-Thr⁸.

В отношении ди- и тришептидных взаимодействий ей эквивалентна другая форма *B*⁵-*R*⁶-*B*⁷-*B*⁸ предпочтительных конформаций шейпа *e/e*. Здесь также весьма значителен стабилизирующий эффект: $E_{s_6-s_7} = -3,3$, $E_{b_6-b_8} = -1,0$ и $E_{b_6-s_8} = -1,3$ ккал/моль. Несколько большие величины $E_{общ}$ у конформаций этого типа по сравнению с конформациями шейпа *eff* объясняются незначительностью тетрапептидных взаимодействий (сближенные в-

Таблица 2

Относительная энергия конформаций фрагмента Ala⁵-Pro⁶-Glu⁷-Thr⁸

Шейп	Конформация	$E_{\text{общ}},$ ккал/моль	Шейп	Конформация	$E_{\text{общ}},$ ккал/моль	Шейп	Конформация	$E_{\text{общ}},$ ккал/моль
<i>eee</i>	$B^5-B^6-B_{211}^7-B_{11}^8$	7,1	<i>e/e</i>	$B^5-R^6-B_{131}^7-R_{31}^8$	6,1	<i>eff</i>	$B^5-R^6-R_{311}^7-B_{11}^8$	0,9 *
	$B-B-B_{211}-R_{11}$	6,1		$B-R-B_{211}-R_{11}$	4,4		$B-R-R_{311}-B_{21}$	3,8
	$B-B-B_{211}-R_{21}$	7,5		$B-R-B_{211}-R_{21}$	5,9		$B-R-R_{311}-B_{31}$	2,5
	$B-B-B_{211}-R_{31}$	6,5		$B-R-B_{211}-R_{31}$	4,5		$B-R-R_{121}-R_{11}$	3,0
	$B-R-L_{331}-B_{11}$	5,4		$B-R-B_{311}-R_{11}$	4,5		$B-R-R_{121}-R_{21}$	6,2
	$B-R-L_{331}-B_{21}$	5,7		$B-R-B_{311}-R_{21}$	6,3		$B-R-R_{121}-R_{31}$	2,8
	$B-R-L_{331}-B_{31}$	5,8		$B-R-B_{311}-R_{31}$	3,9 *		$B-R-R_{221}-R_{11}$	3,2
	$B-R-L_{331}-R_{11}$	6,5		$L-R-B_{131}-B_{11}$	6,6		$B-R-R_{221}-R_{21}$	6,8
	$B-R-L_{331}-R_{21}$	7,2		$L-R-B_{131}-B_{21}$	7,6		$B-R-R_{221}-R_{31}$	4,7
	$B-R-L_{331}-R_{31}$	6,2		$L-R-B_{131}-B_{31}$	7,9		$B-R-R_{311}-R_{11}$	0 *
<i>e/e</i>	$B-R-R_{311}-L_{31}$	6,2		$L-R-B_{311}-B_{11}$	7,0		$B-R-R_{311}-R_{21}$	3,7
	$B-R-B_{131}-B_{11}$	4,1		$L-R-B_{311}-B_{21}$	6,2		$B-R-R_{311}-R_{31}$	1,1
	$B-R-B_{131}-B_{21}$	5,6		$L-R-B_{311}-B_{31}$	5,4		$B-R-B_{131}-L_{11}$	7,8
	$B-R-B_{131}-B_{31}$	5,8		$L-R-B_{131}-R_{11}$	7,5		$B-R-B_{211}-L_{11}$	7,2
	$B-R-B_{211}-B_{11}$	5,5		$L-R-B_{311}-R_{21}$	7,6		$B-R-B_{211}-L_{31}$	7,3
	$B-R-B_{211}-B_{21}$	7,0		$L-R-B_{311}-R_{31}$	7,7		$B-R-B_{311}-L_{11}$	5,9
	$B-R-B_{211}-B_{31}$	6,5	<i>eff</i>	$B-R-R_{121}-B_{11}$	3,9		$L-R-R_{311}-B_{11}$	3,7
	$B-R-B_{311}-B_{11}$	6,6		$B-R-R_{121}-B_{21}$	6,6		$L-R-R_{311}-B_{21}$	7,5
	$B-R-B_{311}-B_{21}$	7,4		$B-R-R_{121}-B_{31}$	4,8		$L-R-R_{311}-B_{31}$	6,2
	$B-R-B_{311}-B_{31}$	3,1 *		$B-R-R_{221}-B_{11}$	3,6		$L-R-R_{311}-R_{11}$	3,4
	$B-R-B_{131}-R_{11}$	5,5		$B-R-R_{221}-B_{21}$	6,5		$L-R-R_{311}-R_{21}$	6,3
	$B-R-B_{131}-R_{21}$	6,9		$B-R-R_{221}-B_{31}$	5,2		$L-R-R_{311}-R_{31}$	3,8

Примечание. Звездочкой отмечены конформации, включенные в последующий расчет.

Таблица 3

Энергетические составляющие конформаций фрагмента
Ala⁵-Pro⁶-Glu⁷-Thr⁸

Шейп	Конформации	$E_{\text{общ}},$ ккал/моль	Энергия взаимодействия, ккал/моль			
			моно-	ди-	три-	тетра-
<i>eff</i>	$B-R-R_{311}-R_{11}$	0	-4,9	-7,1	-2,1	-2,3
	$B-R-R_{221}-R_{11}$	3,2	-4,1	-4,4	-1,9	-2,0
	$B-R-R_{311}-R_{31}$	1,1	-4,3	-7,0	-1,9	-1,4
	$B-R-R_{311}-B_{11}$	0,9	-5,9	-5,7	-2,0	-1,7
<i>e/e</i>	$\overset{\text{---}}{B-R-R_{321}-B_{12}}$	7,6	-4,7	-4,0	-0,8	-0,1
	$B-R-B_{311}-B_{31}$	3,1	-5,4	-5,7	-1,8	-0,7
	$\overset{\text{---}}{B-R-B_{311}-B_{31}}$	3,6	-4,4	-6,6	-1,7	-0,3
<i>eee</i>	$B-B-B_{211}-B_{11}$	7,1	-6,2	-2,9	-0,1	0

Примечание. Скобкой над идентификаторами обозначены водородные связи типа 4-1.

случае *e/e* боковые цепи остатков Ala⁵ и Thr⁸ не образуют эффективных контактов, а элементы b_5 и b_9 удалены друг от друга; рис. 3, табл. 3).

Нами опробовано большое число вариантов структур тетрапептида с водородной связью типа 4-1, приводящих к образованию так называемого β -изгиба. Были рассмотрены возможные ситуации с центральными остат-

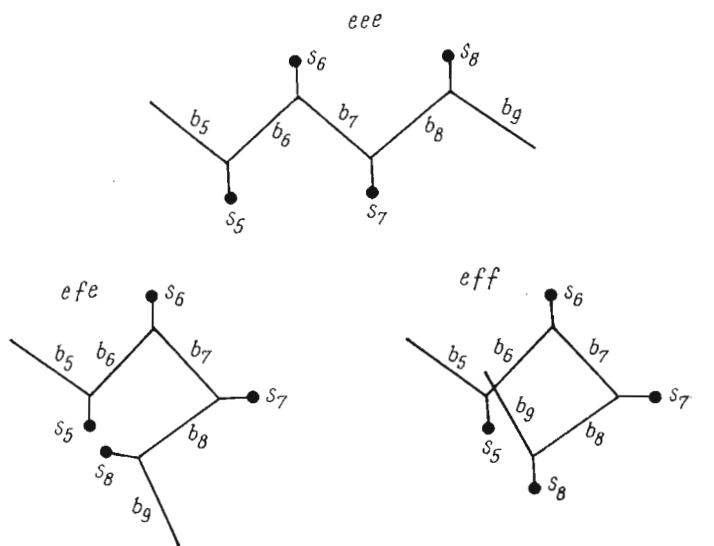


Рис. 3. Шейпы основной цепи фрагмента апамина $\text{Ala}^5\text{-Pro}^6\text{-Glu}^7\text{-Thr}^8$

ками в повороте цепи $\text{Pro}^6\text{-Glu}^7$ и $\text{Glu}^7\text{-Thr}^8$. Во всех случаях образование β -изгиба с водородной связью 4–1 сопровождалось увеличением конформационной энергии. В табл. 3 приведены данные о двух таких структурах шейпов *eff* и *efe*, в которых неблагоприятные контакты минимальны.

Таким образом, результаты расчета фрагмента $\text{Ala}^5\text{-Thr}^8$ свидетельствуют о резкой энергетической дифференциации конформаций. Перспективными для последующего анализа являются лишь конформации указанных выше двух форм основной цепи шейпов *eff* и *efe*. Они имеют одинаковое конформационное состояние дипептида $\text{Ala}^5\text{-Pro}^6(B^5\text{-R}^6)$ и по существу различаются между собой только формой основной цепи $-\text{Glu}^7-$, поскольку *B*- и *R*-формы С-концевого $-\text{Thr}^8-$ практически эквивалентны. Предпочтительность состояния $B^5\text{-R}^6$ перед $B^5\text{-B}^6$, $L^5\text{-B}^6$ и $L^5\text{-R}^6$ следовала также из расчетов фрагментов $\text{Cys}^1\text{-Pro}^6$ и $\text{Ala}^5\text{-Glu}^7$ [1]. Отобранные для расчета октапептида $\text{Cys}^1\text{-Thr}^8$ лучшие конформации обоих шейпов отмечены в табл. 2 звездочками.

Октапептидный фрагмент Cys¹-Thr⁸. Знание конформационных возможностей гексапептида $\text{Cys}^1\text{-Pro}^6$ и тетрапептида $\text{Ala}^5\text{-Thr}^8$ в их свободном состоянии делает реальным структурное исследование октапептидного участка апамина $\text{Cys}^1\text{-Thr}^8$. Его нулевые приближения были составлены из 10 конформационных состояний $\text{Cys}^1\text{-Pro}^6$ с относительной энергией менее 8 ккал/моль, являющихся представителями 10 шейпов пептидного остова, и двух самых выгодных конформационных состояний $\text{Ala}^5\text{-Thr}^8$, представляющих шейпы *eff* и *efe*.

Минимизация энергии по всем переменным углам Φ , Ψ , χ (рис. 2) привела к величинам $E_{\text{общ}}$, представленным в табл. 4. Энергетические со-ставляющие предпочтительных конформаций различных форм даны в табл. 5, а их шейпы изображены на рис. 4.

Лучшие конформации октапептидов принадлежат шейпам *feffefe* ($E_{\text{общ}}=0$) и *feffeff* ($E_{\text{общ}}=0,5$ ккал/моль). Они представляют собой сочетания глобальной конформации фрагмента $\text{Cys}^1\text{-Pro}^6$ и двух самых выгодных состояний $\text{Ala}^5\text{-Thr}^8$, которые образуют между собой новые стабилизирующие взаимодействия. Наиболее существенным из них является электростатическое притяжение между группой COO^- боковой цепи $-\text{Glu}^7-$ и NH_3^+ основной цепи $-\text{Cys}^1-$ ($-3,9$ ккал/моль) и боковой цепи $-\text{Lys}^4-$ ($-1,2$ ккал/моль).

Таблица 4

Относительная энергия конформаций фрагмента
Cys¹-Asn²-Cys³-Lys⁴-Ala⁵-Pro⁶-Glu⁷-Thr⁸

Шейп	Конформация	$E_{\text{общ.}}$, ккал/моль
<i>eeeeese</i>	$B_2^1-B_{13}^2-B_2^3-B_{1211}^4-B_1^5-R_6^6-B_{311}^7-B_{31}^8$	6,5
<i>eeeeeff</i>	$B_2-B_{13}-B_2-B_{1211}-B-R-R_{311}-B_{11}$	12,6
<i>eeejeje</i>	$B_2-B_{13}-B_2-R_{3222}-B-R-B_{311}-B_{31}$	8,6
<i>eeejeff</i>	$B_2-B_{13}-B_2-R_{3222}-B-R-R_{311}-B_{11}$	5,6 *
<i>jeeeeje</i>	$R_2-B_{13}-B_2-B_{1223}-B-R-B_{311}-B_{31}$	6,9
<i>jeeeejj</i>	$R_2-B_{13}-B_2-B_{1223}-B-R-R_{311}-B_{11}$	10,7
<i>ejejeje</i>	$B_2-R_{13}-B_2-R_{3222}-B-R-B_{311}-B_{31}$	9,1
<i>ejejeff</i>	$B_2-R_{13}-B_2-R_{3222}-B-R-R_{311}-B_{11}$	7,5
<i>fjeefeje</i>	$R_2-B_{13}-R_2-B_{2222}-B-R-B_{311}-B_{31}$	6,7
<i>fjeeffj</i>	$R_2-B_{13}-R_2-B_{2222}-B-R-R_{311}-B_{11}$	6,2 *
<i>ffeeeeje</i>	$R_3-R_{13}-B_3-B_{2222}-B-R-B_{311}-B_{31}$	10,6
<i>fffeeffj</i>	$R_3-R_{13}-B_3-B_{2222}-B-R-R_{311}-B_{11}$	10,0
<i>ffjejeje</i>	$R_3-R_{13}-R_3-R_{3322}-B-R-B_{311}-B_{31}$	9,7
<i>ffjejeff</i>	$R_3-R_{13}-B_3-R_{3322}-B-R-R_{311}-B_{11}$	7,5
<i>ffejeje</i>	$\overbrace{R_2-R_{23}}^1-\overbrace{R_2-R_{2222}}^1-B-R-B_{311}-B_{31}$	0 *
<i>feffeffj</i>	$R_2-B_{23}-R_2-R_{2222}-B-R-R_{311}-B_{11}$	0,5 *
<i>ffffeeje</i>	$R_3-R_{13}-R_3-B_{2222}-B-R-B_{311}-B_{31}$	6,5
<i>ffffeefj</i>	$R_3-R_{13}-R_3-B_{2222}-B-R-R_{311}-B_{11}$	6,4
<i>fffffeje</i>	$R_3-R_{13}-R_3-R_{2222}-B-R-B_{311}-B_{31}$	6,3 *
<i>fffffeffj</i>	$R_3-R_{13}-R_3-R_{2222}-B-R-R_{311}-B_{11}$	4,6 *

* См. примеч. к табл. 2 и 3.

/моль). Заметный стабилизирующий вклад вносят также взаимодействия остатка Thr⁸ с элементами b_1 , b_2 , b_3 и s_1 , s_2 (-3 ккал/моль).

Исключительность конформаций *feffefe* и *feffejj* состоит в том, что возникновение весьма эффективных взаимодействий между сближенными противоположными концами фрагмента (рис. 4) не приводит к какому-либо ослаблению контактов внутри лучших конформационных состояний гексапептида Cys¹-Pro⁶ и тетрапептида Ala⁵-Thr⁸. Следовательно, конформации, самые низкоэнергетические для свободных фрагментов, составляющих октапептид Cys¹-Thr⁸, оказались комплементарными друг другу, т. е. предрасположенными к дополнительным взаимодействиям между собой. Согласованность взаимодействий имеет место только в этих конформациях. Во всех остальных случаях конформационная энергия или близка к аддитивной сумме соответствующих составляющих, или превышает ее, что указывает на образование дестабилизирующих контактов. К первым можно отнести низкоэнергетические варианты шейпов *ffffeffj*, *feffeffj* и *eeeeeffj*, уступающих наиболее предпочтительным около 5 ккал/моль и более (табл. 5, рис. 4). Их энергия от пента- до октапептидных взаимодействий в сумме не превышает -3,0 ккал/моль, тогда как в глобальной конформации *feffeje* она составляет -10,6 ккал/моль. Тем не менее и они приняты нами во внимание в последующем анализе. Все отобранные для последующих расчетов конформации отмечены в табл. 4 звездочками.

Нонапептидный фрагмент Cys¹-Ala⁹. Расчет этого участка апамина предпринят для уточнения конформационного состояния остатка Thr⁸, который, находясь на С-конце октапептида, мог взаимодействовать только с предшествующими остатками, а также для выяснения состояний -Ala⁹-.

Энергетические составляющие предпочтительных конформаций окта-, нона- и декапентидного фрагмента

Шлейф	Конформация	$E_{\text{общ}}^*$, ккал/ моль	Энергия взаимодействия, ккал/моль									
			мно-	дн-	три-	тера-	пента-	гекса-	гепта-	окта-	нона-	дека-
Cys ¹ -Asn ² -Cys ³ -Lys ⁴ -Ala ⁵ -Pro ⁶ -Glu ⁷ -Thr ⁸												
<i>jeffeff</i>	$R_2^1-B_{23}^2-R_2^3-R_{2222}^4-B^5-R^6-B_{311}^7-B_{31}^8$	0	-14,2	-13,4	-4,4	-3,5	-2,9	-2,3	-4,7	-1,7	-	-
<i>jeffeff</i>	$R_2-B_{23}R_2-R_{2222}B-R_3R_{311}B_{11}$	0,5	-14,3	-13,6	-4,1	-4,1	-2,9	-2,3	-4,8	-0,1	-	-
<i>fffffe</i>	$R_3-R_{13}R_3-R_{2222}-B-R_3R_{311}B_{31}$	6,3	-17,4	-12,3	-5,8	-2,8	-1,2	+0,6	-2,3	0	-	-
<i>feffff</i>	$R_2-B_{13}R_2-B_{2222}-B-R_3R_{311}B_{11}$	6,2	-17,2	-13,1	-3,9	-3,4	-0,7	+0,6	-1,9	-0,4	-	-
<i>eeeffef</i>	$B_2-B_{13}B_2-R_{3222}-B-R_3R_{311}B_{11}$	5,6	-18,4	-13,9	-4,5	-0,8	-1,3	+0,3	-1,6	-0,4	-	-
Cys ¹ -Asn ² -Cys ³ -Lys ⁴ -Ala ⁵ -Pro ⁶ -Glu ⁷ -Thr ⁸ -Ala ⁹												
<i>fefffeeee</i>	$R_2^1-B_{23}^2-R_2^3-R_{2222}^4-B^5-R^6-B_{311}^7-B_{31}^8-B^9$	0	-17,2	-13,5	-4,1	-4,2	-3,4	-4,6	-4,9	-1,1	0	-
<i>jeffeffef</i>	$R_2-B_{23}R_2-R_{2222}-B-R_3R_{311}B_{31}-L$	0,4	-15,6	-13,9	-4,4	-4,4	-2,9	-2,3	-5,2	-0,8	-0,5	-
<i>fffffeef</i>	$R_3-R_{13}R_3-R_{2222}-B-R_3R_{311}B_{11}-B$	3,0	-19,2	-13,4	-5,9	-3,8	-4,6	+0,8	-2,0	-1,3	-0,5	-
<i>eeeeeffe</i>	$B_2-B_{13}B_2-R_{3222}-B-R_3R_{311}B_{22}-B$	2,2	-20,2	-14,1	-5,0	-0,8	-2,7	-4,0	-3,0	-0,3	-0,2	-
Cys ¹ -Asn ² -Cys ³ -Lys ⁴ -Ala ⁵ -Pro ⁶ -Glu ⁷ -Thr ⁸ -Ala ⁹ -Leu ¹⁰												
<i>fefffeeee</i>	$R_2^1-B_{23}^2-R_2^3-R_{2222}^4-B^5-R^6-B_{311}^7-B_{31}^8-B_{32}^{10}$	2,2	-18,9	-14,7	-4,5	-4,1	-3,0	-1,5	-4,8	-1,4	0	-0,2
<i>fefffeef</i>	$R_2-B_{23}R_2-R_{2222}-B-R_3R_{311}B_{31}-R-B_{32}$	0,9	-18,6	-15,7	-5,0	-3,9	-3,0	-2,4	-5,3	-0,8	-0,1	-0,1
<i>jeffeffef</i>	$R_2-B_{23}R_2-R_{2222}-B-R_3R_{311}B_{31}-R-B_{32}$	0	-17,6	-15,3	-5,5	-5,2	-2,8	-2,4	-4,8	-1,6	-0,8	+0,2
<i>fffffeef</i>	$R_3-R_{13}R_3-R_{2222}-B-R_3R_{311}B_{11}-B$	3,0	-20,4	-14,3	-5,8	-4,3	-1,8	+0,6	-2,9	-2,3	-0,8	-0,2
<i>eeeeeffe</i>	$B_2-B_{13}B_2-R_{3222}-B-R_3R_{311}B_{22}-B$	8,6	-22,5	-14,8	-5,4	-0,1	-2,0	-4,5	-4,5	0	-0,1	0

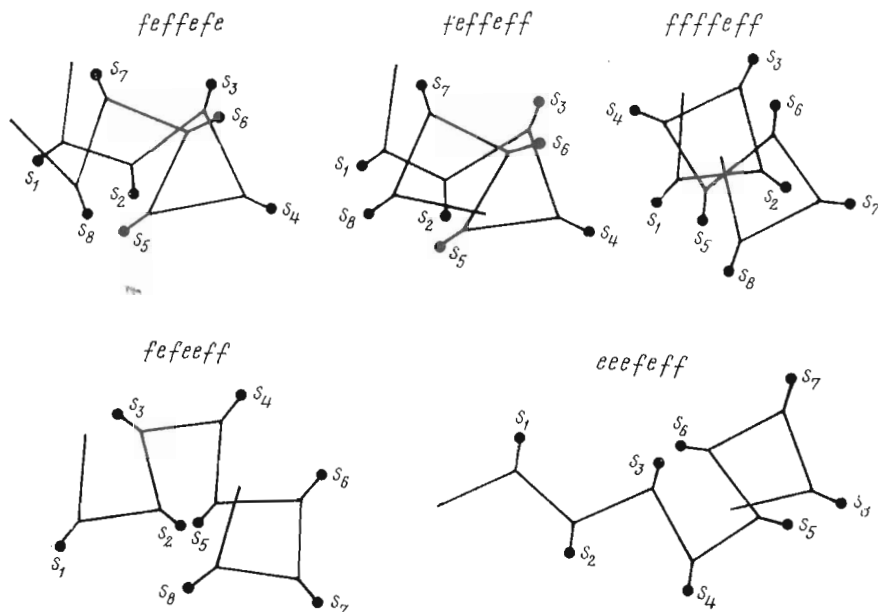


Рис. 4. Шейпы основной цепи фрагмента апамина $\text{Cys}^1\text{-Asn}^2\text{-Cys}^3\text{-Lys}^4\text{-Ala}^5\text{-Pro}^6\text{-Glu}^7\text{-Thr}^8$

Варианты для минимизации были составлены из отмеченных в табл. 4 низкоэнергетических конформаций $\text{Cys}^1\text{-Thr}^8$ и дипептида $\text{Thr}^8\text{-Ala}^9$, детали расчета которого опущены.

Найденные величины относительной энергии и ее составляющих приведены в табл. 6 и 5.

В структурах nonапептида типа *feffeffe* и *fefffff*, образованных на основе одной из самых предпочтительных конформаций октапептида ($E_{\text{общ}} = 0,5$ ккал/моль, табл. 4), возникают значительные невалентные отталкивания между остатками Ala^9 , Thr^8 и Lys^4 , Ala^5 . Неблагоприятные контакты нельзя снять изменением значений двугранных углов, не выходя за пределы областей соответствующих форм основной цепи, т. е. не переходя к другим шейпам. Конформации $\text{Cys}^1\text{-Ala}^9$ шейпов *feffefee* и *feffefef*, основу которых составляет глобальная структура октапептида (*feffefe*), имеют самую низкую энергию. Однако присоединение остатка Ala^9 в состоянии, ведущем как к свернутой, так и к развернутой форме основной цепи дипептида $\text{Thr}^8\text{-Ala}^9$, не вызывает появления эффективных дополнительных взаимодействий в этих конформациях. Они возникают в конформациях типа *fffffeff* между $-\text{Ala}^9-$ и остатками Asn^2 , Pro^6 и Glu^7 ($-3,0$ ккал/моль), а также в конформациях *eeeffeffe*, где $-\text{Ala}^9-$ оказывается в центре структуры и осуществляет стабилизирующие контакты главным образом своей основной цепью (b_9 , b_{10}) с остатками Cys^3 , Lys^4 и Pro^6 ($\sim -3,5$ ккал/моль). В результате сокращается по сравнению с октапептидом разрыв между величинами $E_{\text{общ}}$ глобальной структуры (*feffefee*) и предпочтительных структур шейпов *fffffeff* и *eeeffeffe*. Включенные в расчет декапептида конформации пяти шейпов отмечены в табл. 6.

Декапептидный фрагмент $\text{Cys}^1\text{-Leu}^{10}$. Конформационный анализ этого участка апамина представляет особый интерес, так как он уже содержит атом C^α остатка Cys^{11} , боковая цепь которого образует дисульфидный мостик с Cys^1 . Отобранный для минимизации энергии при варьировании 40 переменных двугранных углов Φ , Ψ , χ (рис. 2) набор из 21 структурного варианта $\text{Cys}^1\text{-Leu}^{10}$ распадается по 9 шейпам. Каждый шейп представлен от одной до трех конформаций с различными формами основной цепи.

Т а б л и ц а 6

Относительная энергия конформаций фрагмента
Cys¹-Asn²-Cys³-Lys⁴-Ala⁵-Pro⁶-Glu⁷-Thr⁸-Ala⁹

Шейп	Конформация	$E_{\text{общ}}$, ккал/моль
<i>jeffefee</i>	$R_2^1-B_{23}^2-R_2^3-R_{2222}^4-B^5-R^6-B_{311}^7-B_{31}^8-B^9$	0 *
	$R_2-B_{23}-R_2-R_{2222}-B-R-B_{311}-R_{31}-L$	3,1 *
<i>jeffefej</i>	$R_2-B_{23}-R_2-R_{2222}-B-R-B_{311}-B_{31}-L$	0,4 *
	$R_2-B_{23}-R_2-R_{2222}-B-R-B_{311}-B_{31}-B$	2,9 *
<i>jeffeffe</i>	$R_2-B_{23}-R_2-R_{2222}-B-R-R_{311}-B_{22}-B$	(.)
	$R_2-B_{23}-R_2-R_{2222}-B-R-R_{311}-R_{11}-L$	(.)
<i>jeffeffj</i>	$R_2-B_{23}-R_2-R_{2222}-B-R-R_{311}-R_{11}-B$	(.)
	$R_2-B_{23}-R_2-R_{2222}-B-R-R_{311}-B_{22}-L$	(.)
<i>ffffeffe</i>	$R_3-R_{13}-R_3-R_{2222}-B-R-B_{311}-B_{31}-B$	6,8
	$R_3-R_{13}-R_3-R_{2222}-B-R-B_{311}-R_{31}-L$	8,6
<i>ffffefej</i>	$R_3-R_{13}-R_3-R_{2222}-B-R-B_{311}-B_{31}-L$	8,2
	$R_3-R_{13}-R_3-R_{2222}-B-R-B_{311}-R_{31}-B$	7,6
<i>ffffeffe</i>	$R_3-R_{13}-R_3-R_{2222}-B-R-R_{311}-B_{11}-B$	3,0 *
	$R_3-R_{13}-R_3-R_{2222}-B-R-R_{311}-R_{11}-L$	3,8 *
<i>ffffeffj</i>	$R_3-R_{13}-R_3-R_{2222}-B-R-R_{311}-R_{22}-B$	8,8
	$R_3-R_{13}-R_3-R_{2222}-B-R-R_{311}-B_{22}-L$	7,3
<i>fefeeffe</i>	$R_2-B_{13}-R_2-B_{2222}-B-R-R_{311}-B_{22}-B$	7,6
	$R_2-B_{13}-R_2-B_{2222}-B-R-R_{311}-R_{22}-L$	8,2
<i>fefeeffj</i>	$R_2-B_{13}-R_2-B_{2222}-B-R-R_{311}-R_{22}-B$	9,4
	$R_2-B_{13}-R_2-B_{2222}-B-R-R_{311}-B_{22}-L$	8,8
<i>eeeeeffe</i>	$B_2-B_{13}-B_2-R_{3222}-B-R-R_{311}-R_{22}-B$	2,2 *
	$B_2-B_{13}-B_2-R_{3222}-B-R-R_{311}-R_{22}-L$	5,0 *
<i>eeeeeffj</i>	$B_2-B_{13}-B_2-R_{3222}-B-R-R_{311}-R_{22}-B$	6,1
	$B_2-B_{13}-B_2-R_{3222}-B-R-R_{311}-B_{22}-L$	3,2 *

П р и м е ч а н и е. Точкой обозначены конформации с большой энергией; см. примеч. к табл. 2.

Как следует из предшествующего анализа, в нонапептидном фрагменте Cys¹-Ala⁹ по сравнению с октапептидом Cys¹-Thr⁸ (табл. 4) сокращен разрыв между величинами $E_{\text{общ}}$ в ряду его низкоэнергетических конформаций (табл. 6). Результаты расчета декапептида (табл. 7) показывают, что присоединение остатка Leu¹⁰ опять сужает круг предпочтительных конформаций. Энергетическая дифференциация выделяет структуры трех родственных шейпов *jeffefefe*, *jeffefefej* и *jeffeffeee*, лучшие представители которых имеют величины $E_{\text{общ}}$ соответственно 0; 0,9 и 2,2 ккал/моль. В этих конформациях фрагмента Cys¹-Leu¹⁰ состояния гекса-, окта- и нонапептидных участков отвечают соответствующим глобальным структурам Cys¹-Pro⁶ (табл. 11 в [1]), Cys¹-Thr⁸ (табл. 4) и Cys¹-Ala⁹ (табл. 6). Сравнительно небольшую энергию ($E_{\text{общ}}=3,0$ ккал/моль) имеет еще одна конформация типа *ffffeffef*.

Что же касается вариантов с наиболее развернутыми формами основной цепи шейпов *eeeeeffe*, *eeeeefff* и *eeeeefff*, то все они обладают высокими величинами $E_{\text{общ}}$. Между тем энергия соответствующих им конформаций в нонапептидном фрагменте была весьма близка к глобальной структуре (2,2 и 3,2 ккал/моль, табл. 6). Повышение относительной энергии

Таблица 7

Относительная энергия конформаций фрагмента
Cys¹-Asn²-Cys³-Lys⁴-Ala⁵-Pro⁶-Glu⁷-Thr⁸-Ala⁹-Leu¹⁰

Шейп	Конформация	$E_{общ}$, ккал/моль
<i>feffefee</i>	$R_2^1-B_{23}^2-R_2^3-R_{2222}^4-B^5-R^6-B_{311}^7-B_{31}^8-B_{32}^9-B_{32}^{10}$	2,2
	$R_2-B_{23}-R_2-R_{2222}-B-R-R_{311}-B_{31}-R-L_{32}$	3,3
	$R_2-B_{23}-R_2-R_{2222}-B-R-B_{311}-R_{31}-L-B_{22}$	2,8
<i>feffefej</i>	$R_2-B_{23}-R_2-R_{2222}-B-R-B_{311}-B_{31}-B-L_{32}$	4,3 *
	$R_2-B_{23}-R_2-R_{2222}-B-R-B_{311}-B_{31}-R-B_{32}$	0,9 *
<i>feffeje</i>	$R_2-B_{23}-R_2-R_{2222}-B-R-B_{311}-B_{31}-L-B_{32}$	0 *
	$R_2-B_{23}-R_2-R_{2222}-B-R-B_{311}-R_{31}-B-B_{32}$	4,0
<i>feffefjj</i>	$R_2-B_{23}-R_2-R_{2222}-B-R-B_{311}-R_{31}-R-L_{32}$	4,3
	$R_2-B_{23}-R_2-R_{2222}-B-R-B_{311}-R_{31}-R-B_{32}$	4,2
<i>ffffeffee</i>	$R_2-B_{23}-R_2-R_{2222}-B-R-B_{311}-R_{31}-B-L_{32}$	4,9
	$R_3-R_{13}-R_3-R_{2222}-B-R-R_{311}-B_{11}-B-B_{32}$	4,4 *
	$R_3-R_{13}-R_3-R_{2222}-B-R-R_{311}-B_{11}-R-L_{32}$	4,9
<i>ffffeffef</i>	$R_3-R_{13}-R_3-R_{2222}-B-R-R_{311}-R_{11}-L-B_{32}$	8,0
	$R_3-R_{13}-R_3-R_{2222}-B-R-B_{311}-B_{11}-B-L_{32}$	6,0
<i>eeeefffee</i>	$R_3-R_{13}-R_3-R_{2222}-B-R-R_{311}-B_{11}-R-B_{32}$	3,0 *
	$B_2-B_{13}-B_2-R_{3222}-B-R-R_{311}-B_{22}-B-B_{32}$	8,6 *
<i>eeefeffej</i>	$B_2-B_{13}-B_2-R_{3222}-B-R-B_{311}-B_{22}-R-L_{32}$	14,7
	$B_2-B_{13}-B_2-R_{3222}-B-R-R_{311}-R_{22}-L-B_{32}$	(.)
<i>eeefeffje</i>	$B_2-B_{13}-B_2-R_{3222}-B-R-R_{311}-B_{22}-B-L_{32}$	15,7
	$B_2-B_{13}-B_2-R_{3222}-B-R-R_{311}-B_{22}-R-B_{32}$	9,0
<i>eeefeffje</i>	$B_2-B_{13}-B_2-R_{3222}-B-R-R_{311}-B_{22}-L-B_{32}$	7,4

* См. примеч. к табл. 2, 3 и 6.

конформаций этих шейпов при включении в цепь остатка Leu¹⁰ связано с возникновением невалентных отталкиваний атомов. Как видно из рис. 5, где представлены различные шейпы декапептида, и как следует из расчета, остаток Leu¹⁰ в конформациях шейпа *eeeffeffee* и аналогичных шейпов наталкивается на остатки Lys⁴, Cys³, Ala⁵ и Thr⁸. Снятие неблагоприятных контактов ведет к конформационной перестройке. В частности, изменяет свое состояние боковая цепь остатка Thr⁸, что сопровождается потерей ее стабилизирующих взаимодействий с -Lys⁴- и -Ala⁵- и повышением энергии соответственно на 2,0 и 1,3 ккал/моль. По сравнению с ионапептидом на 1,0 ккал/моль ухудшаются также взаимодействия -Lys⁴- с -Ala⁵- и на 1,7 ккал/моль -Cys³- с -Ala⁹.

В табл. 5 для конформации этого типа с $E_{общ}=8,6$ ккал/моль даны энергетические составляющие. Их сопоставление с конформациями фрагмента Cys¹-Ala⁹ и конформациями других шейпов Cys¹-Leu¹⁰ показывает, что снятие повышающих энергию неблагоприятных контактов происходит за счет значительной дестабилизации многих средних взаимодействий. Самые низкоэнергетические структуры фрагмента Cys¹-Leu¹⁰ с величинами $E_{общ}=0$; 0,9 и 2,2 ккал/моль (табл. 7) имеют одинаковое конформационное состояние октапептидного участка Cys¹-Thr⁸. Они отличаются друг от друга лишь формой основной цепи С-концевого дипептида Ala⁹-

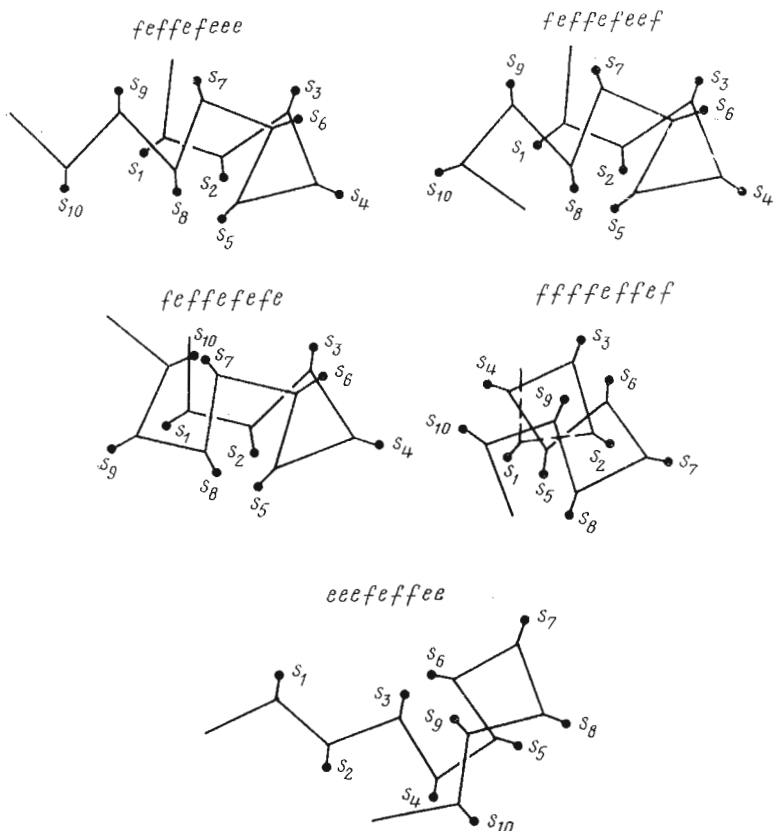


Рис. 5. Шейпы основной цепи фрагмента апамина Cys¹-Asn²-Cys³-Lys⁴-Ala⁵-Pro⁶-Glu⁷-Thr⁸-Ala⁹-Leu¹⁰

Leu¹⁰. Из расчета (см. рис. 5) следует, что в конформациях шейпов *feffefeee* ($E_{общ}=2,2$ ккал/моль) и *feffefeeef* ($E_{общ}=0,9$ ккал/моль) остатки Ala⁹ и Leu¹⁰ удалены от остальной части фрагмента и взаимодействуют с ним лишь на ди- и значительно менее эффективно на трипептидном уровнях. В конформации шейпа *feffefefe* ($E_{общ}=0$) сближенными оказываются остатки Glu⁷ и Leu¹⁰, энергия взаимодействия между которыми составляет $-1,2$ ккал/моль. Этим контактом и объясняется ее более низкая энергия, поскольку в отношении ди- и трипептидных взаимодействий указанные три конформации практически равнозначны.

Следовательно, основная причина энергетической дифференциации конформационных состояний декапептида заключается не в появлении дополнительных стабилизирующих взаимодействий (они во всех случаях незначительны), а в возникновении в конформациях ряда шейпов дестабилизирующих невалентных отталкиваний.

В табл. 8 для одной из самых выгодных конформаций (*feffefeeef*, $E_{общ}=0,9$ ккал/моль) приведены значения энергии межостаточных взаимодействий. Из этой таблицы видно, что аминокислотные остатки в гептапептидном участке Cys¹-Glu⁷ фрагмента Cys¹-Leu¹⁰ интенсивно взаимодействуют между собой, причем взаимодействия между удаленными остатками здесь не менее эффективны, чем взаимодействия между ближайшими по цепи.

Конформационное состояние участка Cys¹-Glu⁷ $R_2^1-B_{23}^{22}-R_2^{32}-R_{2222}^{42}-B^5-R^6-B_{31}^{71}$ входит во все самые предпочтительные структуры окта-, нона- и декапептида, т. е. является наиболее стабильным для последовательности

Таблица 8

Энергия межостаточных взаимодействий (ккал/моль) в конформациях фрагментов Cys¹-Leu¹⁰, Cys¹-Ala⁹, Cys¹-Thr⁸, Cys¹-Pro⁶ и Ala⁵-Thr⁸

	Cys ¹	Asn ²	Cys ³	Lys ⁴	Ala ⁵	Pro ⁶	Glu ⁷	Thr ⁸	Ala ⁹	Leu ¹⁰
Cys ¹	-0,6	-1,0	+0,1	1,2	-2,3	-1,9	-3,8	-0,8	-0,1	-0,1
	-0,6	-1,0	+0,1	1,2	-2,2	-1,1	-3,8	-1,4	-0,1	-
	-0,6	-1,0	+0,1	1,2	-2,3	-2,0	-3,7	-1,7	-	-
	-0,6	-1,0	+0,1	1,1	-2,3	-1,8	-	-	-	-
Asn ²	-2,0	-2,4	-1,9	-2,2	-4,1	-0,3	-	-1,4	0	0
	-4,9	-2,4	-1,9	-2,2	-4,2	-0,3	-	-1,1	0	-
	-1,7	-2,5	-1,9	-1,8	-0,8	-0,2	-	-1,0	-	-
	-1,7	-2,5	-1,9	-1,6	-0,8	-	-	-	-	-
Cys ³	-0,5	-1,8	-0,1	-1,4	0,3	-	-0,2	0	0	0
	-0,5	-1,8	-0,1	-1,4	0,3	-	-0,2	0	-	-
	-0,4	-1,9	-0,2	-1,3	0,3	-	-0,1	-	-	-
	-0,4	-1,9	-0,2	-1,4	-	-	-	-	-	-
Lys ⁴	-2,5	-1,4	-0,4	-4,0	-	0	0	0	-	-0,1
	-2,5	-1,4	-0,5	-1,0	-	0	0	-	-	-
	-2,3	-1,5	-0,6	-1,0	-	0	-	-	-	-
	-2,2	-1,5	-0,7	-	-	-	-	-	-	-
Ala ⁵	-0,6	-1,6	-0,1	-	-	-0,6	0	0	0	0
	-0,5	-1,6	-0,1	-	-	-0,8	0	-	-	-
	-0,7	-1,6	-0,1	-	-	-0,6	-	-	-	-
	-0,4	-1,6	-	-	-	-	-	-	-	-
Pro ⁶	-0,4	-1,6	-0,2	-	-	-1,0	-	-	-	-
	-0,8	-3,6	-	-	-	-1,7	0	0,1	-	-
	-0,8	-3,6	-	-	-	-1,6	0	-	-	-
	-0,8	-3,6	-	-	-	-1,7	-	-	-	-
Glu ⁷	-0,5	-3,9	-1,8	-	-	-	-	-	-	-
	-5,0	-5,0	-1,3	-	-	-0,1	0,1	-	-	-
	-5,0	-5,0	-1,3	-	-	0	-	-	-	-
	-5,2	-5,2	-1,3	-	-	-	-	-	-	-
Thr ⁸	-	-	-	-	-	-	-	-	-	-
	-5,2	-5,2	-1,4	-	-	-	-	-	-	-
	-	-	-2,8	-	-	-1,0	-	-0,8	-	-
	-	-	-3,1	-	-	-0,8	-	-	-	-
Ala ⁹	-	-	-2,6	-	-	-	-	-	-	-
	-	-	-	-	-	-	-	-	-	-
	-	-	-2,6	-	-	-	-	-	-	-
	-	-	-	-	-	-	-1,7	-1,2	-	-
Leu ¹⁰	-	-	-	-	-	-	-	-2,2	-	-
	-	-	-	-	-	-	-	-	-	-
	-	-	-	-	-	-	-	-	-	-
	-	-	-	-	-	-	-	-	-	-

Примечание 1. Энергетические данные по разным типам межостаточных взаимодействий относятся к конформациям следующих фрагментов аминокислот (в порядке следования строк для каждого остатка в столбце): Cys¹ - Leu¹⁰(R₂-B₂₃-R₂-R₂₂₂₂-B-R-B₃₁₁-B₃₁-R-B₃₂, табл. 7); Cys¹ - Ala⁹(R₂-B₂₃-R₂-R₂₂₂₂-B-R-B₃₁₁-B₃₁-B, табл. 6); Cys¹-Thr⁸(R₂-B₂₃-R₂-R₂₂₂₂-B-R-B₃₁₁-B₃₁, табл. 4); Cys¹-Pro⁶(R₂-B₂₃-R₂-R₂₂₂₂-B-R, табл. 11 в [1]); Ala⁵-Thr⁸(B-R-B₃₁₁-B₃₁, табл. 2).

2. Энергия взаимодействий атомов в остатке $E_m = E_{bm} + E_{bm+1} + E_{sm} + E_{bm-bm+1} + E_{bm-sm} + E_{bm+1-sm}$, между остатками $E_{m-n} = E_{bm-bn+1} + E_{bm-sm} + E_{sm-bn+1} + E_{sm-sm}$ (см. рис. 3).

Cys¹-Glu⁷. Взаимодействие остатка Thr⁸ с участком Cys¹-Glu⁷ составляет -4,4 ккал/моль. Контакты -Thr⁸- с двумя последующими остатками оцениваются в -1,8 ккал/моль. Дипептидный участок Ala⁵-Leu¹⁰ практически не связан с Cys¹-Glu⁷ (табл. 5 и 8) и, как следует из расчета, может находиться в близких по энергии состояниях $B^9-B^{10}(R^{10})$, $R^9-B^{10}(R^{10})$, $L^9-B^{10}(R^{10})$.

Таким образом, результаты конформационного анализа позволяют заключить, что в самых стабильных и наиболее представительных по количеству структурах декапептида Cys¹—Leu¹⁰ гептапептидный участок Cys¹—Glu⁷ представляет собой сложившуюся, конформационно жесткую (прежде всего в отношении формы основной цепи) нуклеацию, а два предшествующих -Cys¹¹- остатка (Ala⁹ и Leu¹⁰) отличаются во фрагменте большой лабильностью. Промежуточное положение занимает остаток Thr⁸, однако его конформационное состояние, особенно состояние боковой цепи, в большей степени определяется взаимодействиями с нуклеацией.

В табл. 8 приведены значения энергии межостаточных взаимодействий в глобальных конформациях свободных ионапептида Cys¹—Ala⁹, октапептида Cys¹—Thr⁸, гексапептида Cys¹—Pro⁶ и конформации с $E_{\text{общ}}=3,1$ ккал/моль тетрапептида Ala⁵—Thr⁸. Они отвечают состояниям соответствующих участков цепи в декапептиде Cys¹—Leu¹⁰.

Как следует из сравнения данных, представленных в соответствующих клетках, включение того или иного участка в этом конформационном состоянии в более длинный фрагмент не приводит, несмотря на возникновение многочисленных и эффективных новых взаимодействий между остатками, к ослаблению его внутренних стабилизирующих контактов. Почти полное совпадение всех значений энергии межостаточных взаимодействий имеет место даже в конформации $B^5-R^6-B_{31}^7-B_{31}^8$ на участке Ala⁵—Thr⁸ как в свободном состоянии, так и включенного в среднюю часть фрагмента Cys¹—Leu¹⁰, в котором он испытывает дополнительные взаимодействия, энергия которых равна $-19,5$ ккал/моль (при внутренних взаимодействиях, включая моноцептидные, $-18,3$ ккал/моль). Следовательно, уникальность самых низкоэнергетических конформаций декапептидного участка Cys¹—Leu¹⁰ апамина заключается в практически совершенной согласованности межостаточных взаимодействий на всех участках цепи.

ЛИТЕРАТУРА

- Попов Е. М., Мельников П. Н. (1979) Биоорган. химия, 5, 828—847.
- Schimmel P. R., Flory P. I. (1968) J. Mol. Biol., 34, 105—120.
- Липкинд Г. М., Архипова С. Ф., Будковская В. Н., Попов Е. М. (1974) Молекулярн. биология, 8, 902—912.
- Kreissler M. A., Arkhipova S. F., Lipkind G. M., Popov E. M. (1974) J. Chem. Phys., 71, 907—912.

Поступила в редакцию
15.XII.1978

A PRIORI CALCULATION OF THREE-DIMENSIONAL STRUCTURE OF APAMIN.

II. FRAGMENT Cys¹-Leu¹⁰

MEL'NIKOV P. N., POPOV E. M.

M. M. Shemyakin Institute of Bioorganic Chemistry, Academy of Sciences of the USSR, Moscow

The conformational possibilities of the apamin Cys¹-Asn²-Cys³-Lys⁴-Ala⁵-Pro⁶-Gly⁷-Thr⁸-Ala⁹-Leu¹⁰ (Cys¹-Leu¹⁰) fragment were assessed. Calculations were based on the preliminary analysis of the peptides Thr⁸-Ala⁹, Ala⁹-Leu¹⁰, Ala⁵-Thr⁸, Cys¹-Thr⁸, Cys¹-Ala⁹ and Cys¹-Pro⁶ described in the preceding communication. In the most stable decapeptide structures, the octapeptide Cys¹-Thr⁸ and particularly its backbone were shown to constitute a conformationally rigid «nucleus», while considerable flexibility was observed for Ala⁹ and Leu¹⁰ residues. The most stable Cys¹-Leu¹⁰ conformations exhibited a very high degree of correlation for all inter-residue interactions.